

### III-39 沖積層地盤の地震応答特性および震度分布について (大阪市の場合)

京都大学防災研究所 正員  
(現) 大阪工質試験所 正員

吉川 宗治  
○岩崎 好規

#### 1. まえがき

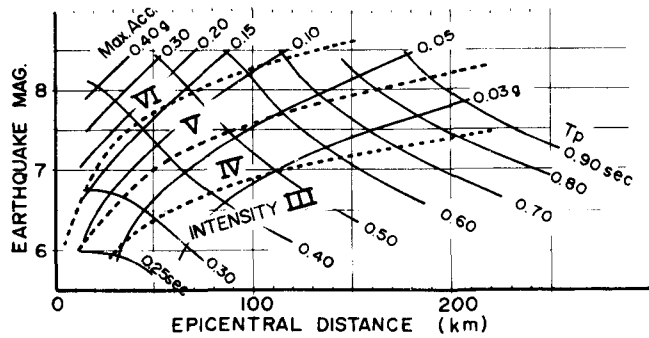
沖積層地盤の上にあつて、その硬い地盤を地震基盤と考えて  $M_{ag} = 7$  程度の近地地震による沖積層の地震応答を多質点系モデルを用いて応力-ひずみ関係のひずみ依存性を考慮に入れて計算した。用いた沖積層モデルは水平構造を有する砂質系および粘性土系のもので、得られた結果を大阪市の場合に適用して考察した。

#### 2. 地震動のモデル化

普通の構造物は垂直方向より水平方向の力に弱いこと、今までの地震観測によると水平成分の方が重直成分の震動の振幅より約 2~3 倍大きいことから、第一近似として震窓に換算する地震エネルギーは、せん断波が地下から地表にむかって伝播するものと仮定して計算する。地震基盤での地震動特性を加速度で表す“最大加速度”と“卓越周期”で代表させて、図-1 では  $M_{ag}$  ~ 震央距離平面

上で図-1 のように示す。<sup>1)</sup> 最大加速度 ( $Max. Acc.$ ) と卓越周期 ( $T_p$ ) は実線で示してあるが、震度もローマ数字で点線で示してある。今  $M_{ag} = 7$  程度で震央距離 20~30 km の近地地震を考へれば、最大加速度 0.1~0.2 g, 卓越周期 0.3~0.4 sec の地震動を地震基盤に与えることで地震動はモデル化できることは分かる。そこで基盤への入力加速度波形は、 $Max. Acc. = 0.18 g$ ,  $T_p = 0.33 \text{ sec}$  の Taft 記録 (1952) を用いる。

図-1 地震基盤での地震動特性



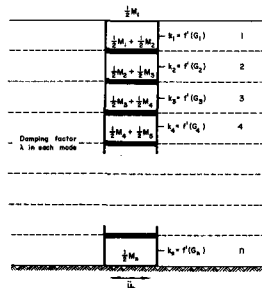
#### 3. 沖積層モデル

沖積層モデルとしては、砂層と粘性土層の水平層を考慮したものを用いた。構成は表-1 に示したようである。深度の増大と共に相対密度が増加し、せん断強さは増加するものとし、地下水位は深度 1 m の深さにあつて假定した。連続体を多質点によつてモデル化した際の近似の程度は、主として質点数によつて、連続体水平構造を多

深度	沖積砂層			沖積粘性土層	
	相対密度	修正係数	単体重量	せん断強さ	単体重量
0~5 m	Rd % 40	0.5	r. g/cm³ 1.5	Su kg/cm² 0.20	r. g/cm³ 1.5
5~10	40	0.5	1.7	0.20	1.5
10~20	50	0.6	1.8	0.45	1.5
20~30	65	0.8	1.8	0.75	1.5
30~40	80	1.0	1.8	1.00	1.5

質点セイ断パリ系で水平運動をモデル化し、加速度で厳密解と比較した結果、精度・質点数との関係は主として系の固有周期によらず、 $\zeta = \gamma \pi f_{\text{Seed}}$  等<sup>2)</sup> にて示されてる。これは多質点系のモデル化によって生ずる誤差は 5% 以内であるようだ、固有周期によつて用ひる質点数を求めてる。

図-2 集中質点系モデル 質点固有周期要素は次に述べる方法により求め、Modal Analysis の手法にて応答計算を行、 $\zeta = \gamma \pi f_{\text{Seed}}$  (修正係数; 図-3 の G の値を相対密度に応じて補正する)。



#### 4. 土の応力-ひずみ関係のモデル化

土要素の応力-ひずみ関係は、その性状が応力の大きさによらず大きく変化するこれが明らかになつて、<sup>3)</sup> いる。現在の実際的土要素の応力-ひずみ関係のモデル化は、等価線型係数を用ひる解法で解説されており、係数値の大きさは“ひずみ”レベルに応じて大きく変化する<sup>4)</sup>。

図-3

図-4

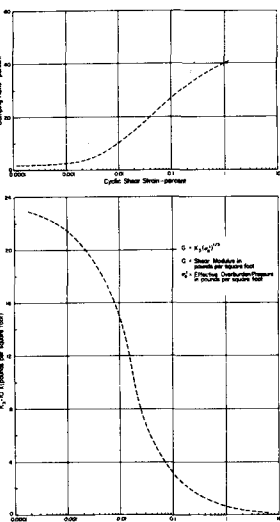
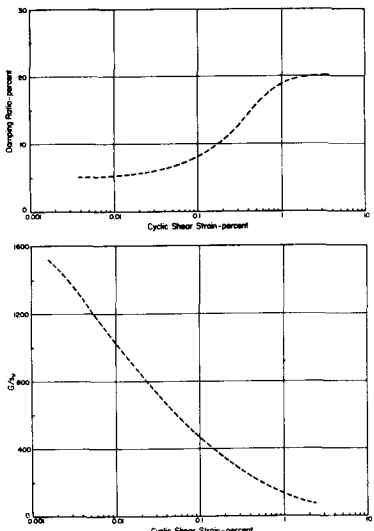
Seed によつて、<sup>3)</sup> 2 指摘されてる。

冲積砂の土要素の応力-ひずみ関係を線型等価せん断係数と等価減衰定数で表わしこちらのひずみ依存性は図3～4に示されてる Seed の提案する関係を採用した。

#### 5. 等価線型係数のひずみ依存性を導入した応答解析

実際の手順はまず適当な係数を仮定して応答を試算し、ひずみレベルを求めると少しだけ同じ係数を新しく設定する。さらにその係数を用いて応答を試算し得らうとするレベルと用ひた係数とが適合するまでくり返す。通常 3～4 回程度の繰返しで充分のようであるが、例として厚さ 5 m の砂層の計算結果を次に示す(表-2)。最初に仮定した等価線型せん断係数  $G$  は  $G_{10} = 200 \text{ kg/cm}^2$  で S 波速度  $V_s = 115 \text{ m/sec}$  の程度のもので弹性波探査から得られた値(冲積砂厚 90～150 m<sup>5)</sup>)である。 $G_{10}, G_{30}$  はさむか 1 回、3 回目の試算で仮定された  $G$  の値で、計算すら  $\zeta = \gamma^2 f(G)$  である。

表-2 冲積砂の地震応答 ITERATION STEP 每の応答比較



センシティビティによる絶対等価係数の変化(砂土)(Seed)

$\gamma = 0.05$

センシティビティによる絶対等価係数の変化(粘性土)(Seed)

深度	$G_{10}$	$G_{10}$	$G_{30}$	$G_{30}$	$\gamma_{1,\text{max}}$	$\gamma_{3,\text{max}}$	$\zeta_{1,\text{max}}$	$\zeta_{3,\text{max}}$	$\alpha_{1,\text{max}}$	$\alpha_{3,\text{max}}$	深度別
0. m	$200 \text{ kg/cm}^2$	$198$	$190$	$191$	$0.004$	$0.006$	$0.009$	$0.011$	$0.25$	$0.30$	～
~0.5	$200$								$0.24$	$0.30$	から分るようには、弹性波探査
~1.0	$200$	$231$	$225$	$223$	$0.013$	$0.015$	$0.026$	$0.034$			等の弹性範囲応力時の S 波
~1.0 ~2.3	$200$	$175$	$120$	$100$	$0.029$	$0.062$	$0.057$	$0.074$	$0.24$	$0.30$	測定結果をそのまま用いて大
~2.3 ~3.6	$200$	$133$	$70$	$57$	$0.048$	$0.182$	$0.095$	$0.127$	$0.21$	$0.28$	地震時応答を推定したもの(1回
~3.6 ~5.0	$200$	$115$	$55$	$48$	$0.065$	$0.299$	$0.131$	$0.164$	$0.20$	$0.23$	目)といずみ依存性を導入した
減量 $\gamma_{10}$ $= 0.20$	$\gamma_{10}$ $= 0.14$	$\gamma_{30}$ $= 0.17$	$\gamma_{30}$ $= 0.19$								結果(3回目)との間に、相

( $G_{10}, G_{30}$  は 1 回、3 回の試算でひずみレベルが  $\gamma$ )

当の違いがある。ひずみ依存性を導入するヒヤウ応答計算の結果加速度変化は表-3から求めた表-3のようになる。地表面加速度で約20%, 地盤の固有周期は約170%と大きく変化している。

表-3

	① S波をヒ アリ G <sub>s</sub> 推定値	② ひずみ依 存性を導入 したとき	①, ②の 倍率%
G <sub>s</sub> kg/sec <sup>2</sup>	200	50 ~220	75
V <sub>s</sub> m/sec	115	60 ~120	50
地表面 G <sub>max</sub> g	0.25	0.30	20
γ <sub>max</sub> %	0.004 ~0.065	0.006 ~0.30	45
T <sub>max</sub> sec <sup>2</sup>	0.009 ~0.130	0.011 ~0.164	25
周期 sec	0.18	0.31	170

### 6. 沖積層応答解析結果

以上述べてきたシミュレーションの手法を用いて、Mag=7. 程度、近地地震に対する沖積層の応答を計算し、得られた地表面加速度をもとにレスポンス・スペクトラムの計算を行なったのは、地表面での最大加速度と加速度レスポンス・スペクトラム、又図-5には、速度レスポンス・スペクトラム、位相レスポンス・スペクトラムを各層厚毎、砂層粘性土層毎に示してある。尚スペクトラム・ダニゼーフは5%で計算してある。地表面最大加速度は、層厚5m付近で最大値を示し、層厚10mより厚い時には層厚による変化は乏しく粘性土層で約0.3g、砂層で約0.15gを示してある。加速度レスポンス・スペクトラムは、層厚が厚くなるにつれて、ビーグ時の锐さは減りフラットな形になり、最大応答加速度を示す卓越周期の値は層厚と共に大きくなっている。

図-5

RESPONSE SPECTRA for ALLUVIAL LAYERS  
by TAFT BASE MOTION

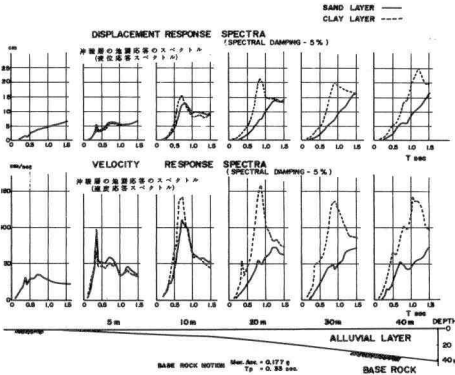


表-4 沖積層の固有周期(sec)

固有周期	層厚m	5	10	20	30	40
砂層	0.31	0.94	1.17	1.41	1.60	
粘性土層	0.25	0.58	0.88	0.96	1.10	

7. 大阪市内地盤時応答

図-7

大阪市内は、上町台地付近を除いて0~25mの層厚の沖積層の上に都市が形成されており、沖積層の下には、数百メートルの大坂層群と呼ばれる洪積層があり、さ

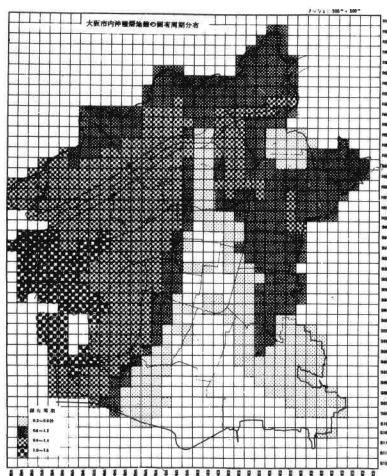
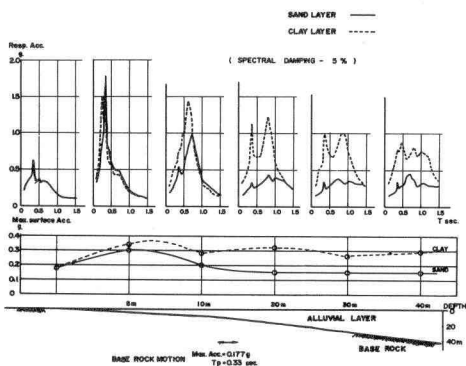


図-6

ACCELERATION RESPONSE SPECTRA and MAX. SURFACE ACC.  
for ALLUVIAL LAYERS by TAFT BASE MOTION



らにその下には、二  
上石群がつき、花  
崗岩がその次の層に存  
在している。

沖積層を地盤基盤  
とみなせばならば、  
6.で示した応答計算  
の結果を参照して、  
大阪市内での近地盤  
震で  $M=7$  で  $\zeta = 5\%$   
のものによる地震時応  
答は次のようになると推定  
される。大阪市内の

沖積層は、砂層とか粘性土層の单一層ではなく所、粘性土層  
の互層には、てある。互層の応答は、单一層の砂、粘性土層  
の応答範囲内でであろうと推定されるので、ある層厚を持つ互  
層の応答は、同じ層厚を持つ单一層の応答と比較すると、て  
応答範囲の推定値を下する。図-7~10には、大阪市内沖積  
地盤の大地震時固有周期、最大応答加速度、最大応答速度と  
最大応答変位の分布図を示した。

#### 8. あとがき

土要素の応力-ひずみ関係にひずみ依存性を導入した沖  
積層地盤の地震応答特性は、弾性波群査などから得られる微  
小ひずみ時の S 波速度をそのまま用いた場合の特性とは相当  
に異なり可能性を示し、ひずみ依存性を導入した地震応答特  
性を大阪市内に適用し Micro-Zoning を試みた。今回用いた lumped-mass Analysis によるとても、  
他の解析法によるとても、土要素の応力-ひずみ関係を正確に求めることは、先決であり、  
特に地震時の土の応答を考える際には、より現実に忠実な解を得るために近道となる。今回の研究  
には、機会を与えて頂いた大阪市の福山総合計画局長、近藤再開発計画課長、安藤市街地再開発係長  
の方々に感謝いたします。深くお礼申し上げます。

#### 参考文献

岩崎好規(1971)“近畿地方で耐震工学上考慮すべき地震について” 土木学会関西支部年次学術講演会、概要 III-16、昭和46年5月

2) Idriss, I.M. and Seed, H.B (1968) "Seismic Response of Horizontal Soil Layers" Journal of Soil Mech. and Found. Div. ASCE. Vol. 94, No. SM4 July

3) Seed, H.B. Bolton and Idriss, I.M. (1968) "The Influence of Soil Conditions on Ground Motions during Earthquakes" Journal of the Soil Mech. and Found. Div. ASCE. Vol. 94, No. SM6, Nov.

図-8

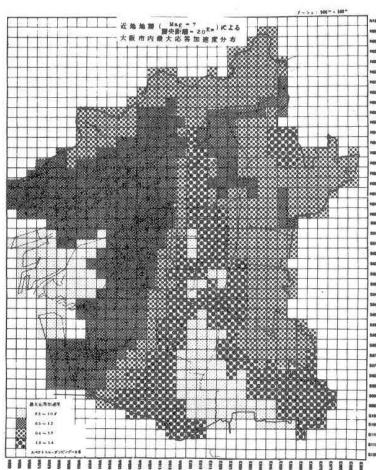


図-9

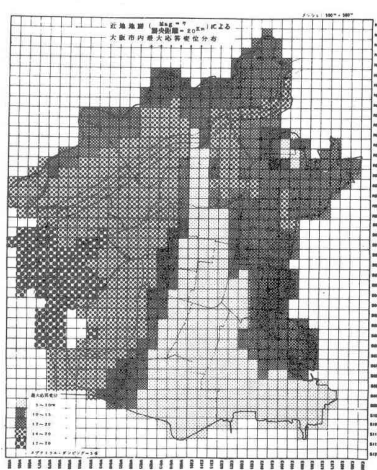


図-10

